

Алгоритмы робастного оценивания спектральных характеристик сигналов и их использование.

Любомищенко Н.С.
6057/12

Содержание

- Классические методы оценивания спектральной плотности
- Процесс авторегрессии
- Робастные методы оценивания спектральной плотности
- Постановка задачи
- Предлагаемые методы оценивания спектральной плотности
- Модели засорения
- Эксперименты
- Выводы

Классические методы оценивания спектральной плотности

- **Периодограммы**

$$X(f) = \int_{-\infty}^{\infty} x(t) e^{-i2\pi ft} dt$$

$$X_T(f) = \int_{-\frac{T}{2}}^{\frac{T}{2}} x(t) e^{-i2\pi ft} dt$$

$$S(f) = \lim_{T \rightarrow \infty} \frac{1}{T} E[|X_T(f)|^2]$$

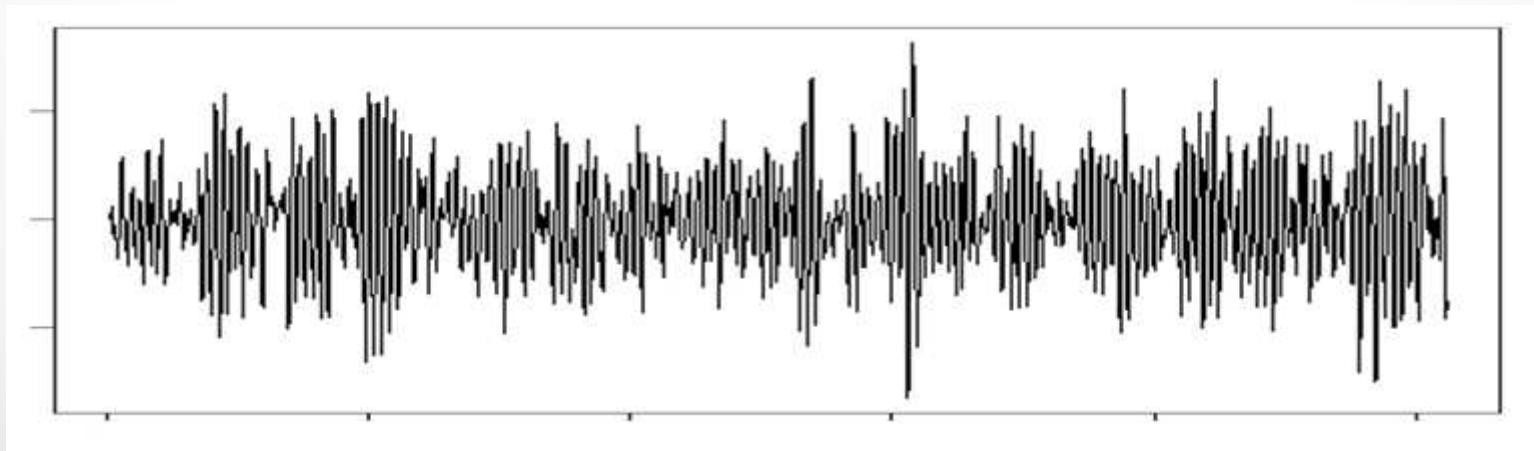
- **Коррелограммы** (теорема Винера-Хинчина)

$$S(f) = \int_{-\infty}^{\infty} R(t) e^{-i2\pi ft} dt$$

Процесс авторегрессии

- $AR(p)$:
$$x(t) = \sum_{i=1}^p \alpha_i x(t-i) + \varepsilon_t$$
- $AR(2)$:
$$x(t) = \alpha_1 x(t-1) + \alpha_2 x(t-2) + \varepsilon_t$$

$$\varepsilon_t \sim N(0, \sigma)$$



спектральной плотности: метод Юла-Уолкера

- Оценка автоковариационной функции:

$$\hat{r}_k = \frac{\sum_{t=1}^{n-k} (X_t - \bar{X}_t)(X_{t-k} - \bar{X}_t)}{n-k}, 0 \leq k \leq l$$

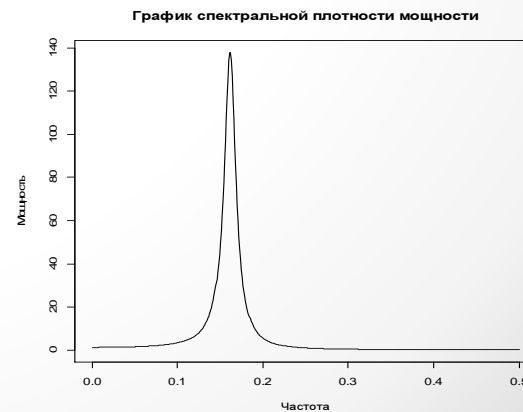
- Система уравнений Юла-Уолкера:

$$r_0 = \hat{\alpha}_1 r_1 + \hat{\alpha}_2 r_2 + \hat{\alpha}_3 r_3 + \dots + \hat{\alpha}_l r_l + \hat{\sigma}_\varepsilon^2$$

[illegible]

- Оценка спектральной плотности мощности:

$$\hat{S}(f) = \frac{\hat{\sigma}_e^2}{\left| 1 - \sum_{j=1}^l \hat{\alpha}_j \exp(i2\pi f j) \right|^2}$$



Робастность в статистике

«robust» с лат.: сильный, грубый, надежный

- Робастность – устойчивость статистических процедур к возможным отклонениям от принятых моделей распределений.
- Неробастная процедура: **МНК**

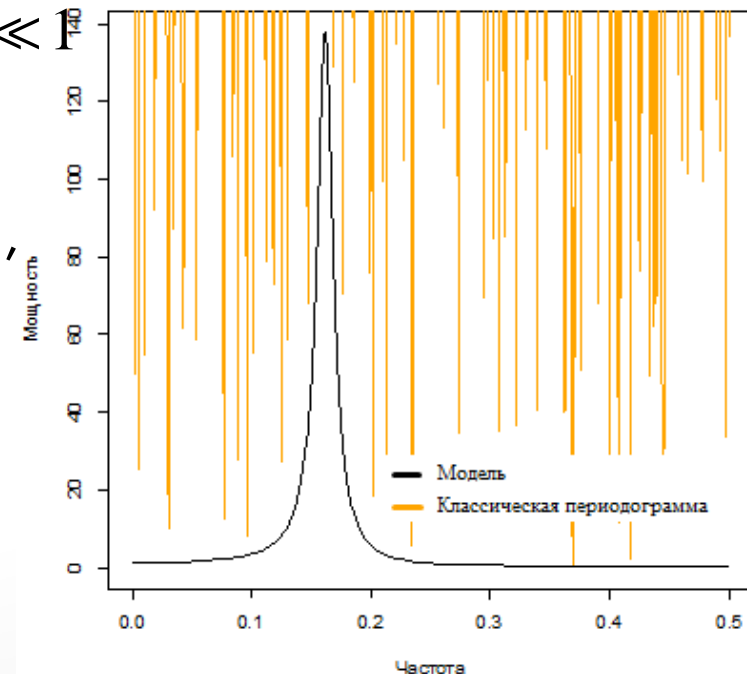
$$\bar{x} = \frac{1}{n} \sum_{i=1}^n x_i$$

$x_1, x_2, \dots, x_n \sim (1 - \varepsilon)N(x; 0, 1) + \varepsilon C(x; \theta), \quad 0 < \varepsilon \ll 1$

- Робастная процедура: **МНМ**
[Tukey(1960)], [Huber(1964, 1981)],
[Hampel(1986)]

$$\text{med}\{x_i\} = \begin{cases} x(k+1), & n = 2k+1 \\ \frac{x(k+1) + x(k)}{2}, & n = 2k \end{cases}$$

График спектральной плотности мощности

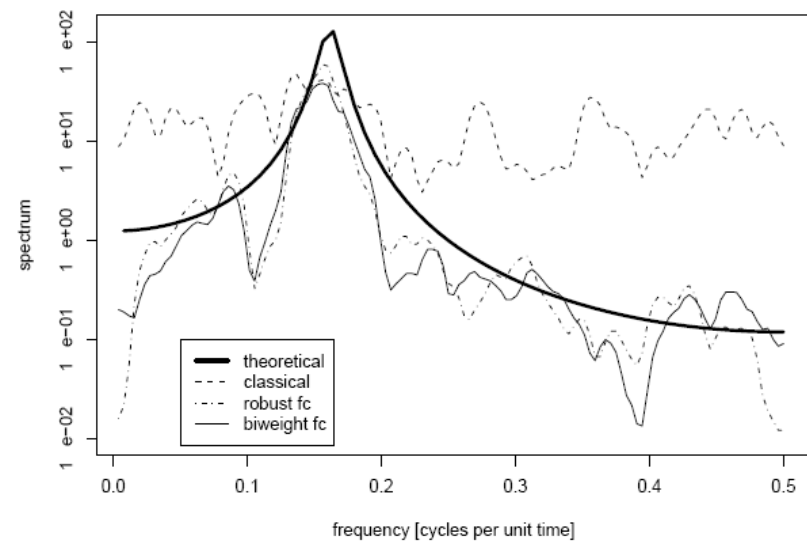


Робастные подходы к оценке спектральной плотности

- **Двухэтапные процедуры:**

1. Предварительная робастная фильтрация – чистка процесса от «засоряющих» данных
2. Применение классических методов к очищенным данным

[Kleiner, Martin (1979)],
[Martin, Thomson (1982)],
[Челпанов и пр. (1985)],
[Tatum and Hurvich (1993)],
[Dutter, Spangl (2008)].



Постановка задачи:

поиск перспективных подходов
к робастному оцениванию
спектральной плотности

1. Робастный вариант периодограмм
2. Робастный вариант коррелограмм
3. Робастный вариант метода Юла-Уолкера

Используемые робастные оценки

- **Параметра положения:** выборочная медиана (**med**) как робастный аналог выборочного среднего
- **Параметра масштаба:**
 - медиана абсолютных отклонений (**MAD**)

[Rousseeuw, 1984]

$$MAD(X_t) = med(|X_t - med(X_t)|), \quad \text{eff} = 37\%$$

- **FQn** оценка [Смирнов & Шевляков, 2010]

$$FQn(X_t) = MAD(X_t) * \left(1 - \frac{Z_0 - n / \sqrt{2}}{Z_2}\right), \quad \text{eff} = 81\%,$$

$$Z_k = \sum u_i^k e^{-u_i^2 / 2} \quad u_i = \frac{X_i - med(X_t)}{MAD(X_t)}$$

как робастные аналоги среднеквадратического отклонения

Робастные периодограммы: медианное преобразование Фурье

- Оценка спектральной плотности:

$$\hat{S}(f) = \frac{1}{T} \left| \tilde{X}_T^c(f) + i\tilde{X}_T^s(f) \right|^2$$

- Медианное преобразование Фурье:

$$\tilde{X}_T^c(f) = T \arg \min_z \int_{-\frac{T}{2}}^{\frac{T}{2}} |x(t) \cos(2\pi ft) - z| dt$$

$$\tilde{X}_T^s(f) = T \arg \min_z \int_{-\frac{T}{2}}^{\frac{T}{2}} |x(t) \sin(2\pi ft) - z| dt$$

Робастные периодограммы: медианное преобразование Фурье

- МНК:

$$X_T^c(f) = T \arg \min_z \int_{-\frac{T}{2}}^{\frac{T}{2}} |x(t) \cos(2\pi ft) - z|^2 dt$$

$$X_T^s(f) = T \arg \min_z \int_{-\frac{T}{2}}^{\frac{T}{2}} |x(t) \sin(2\pi ft) - z|^2 dt$$

- МНМ:

$$\tilde{X}_T^c(f) = T \arg \min_z \int_{-\frac{T}{2}}^{\frac{T}{2}} |x(t) \cos(2\pi ft) - z| dt$$

$$\tilde{X}_T^s(f) = T \arg \min_z \int_{-\frac{T}{2}}^{\frac{T}{2}} |x(t) \sin(2\pi ft) - z| dt$$

$$X_T^c(f) = T \text{ave}\{x_1 \cos(2\pi f), \dots, x_N \cos(2\pi Nf)\} \quad \tilde{X}_T^c(f) = T \text{med}\{x_1 \cos(2\pi f), \dots, x_N \cos(2\pi Nf)\}$$

$$X_T^s(f) = T \text{ave}\{x_1 \sin(2\pi f), \dots, x_N \sin(2\pi Nf)\} \quad \tilde{X}_T^s(f) = T \text{med}\{x_1 \sin(2\pi f), \dots, x_N \sin(2\pi Nf)\}$$

Робастные коррелограммы: процедура Блекмэна-Тьюки

$$\hat{S}_x(f) = \int_{-T/2}^{T/2} \hat{R}(t) e^{-i2\pi f t} dt$$

- Робастные оценки коэффициентов корреляции:

- **MAD** оценка:
$$\hat{\rho}_{MAD}(k) = \frac{MAD^2(U) - MAD^2(V)}{MAD^2(U) + MAD^2(V)}$$

- **FQn** оценка:
$$\hat{\rho}_{FQn}(k) = \frac{FQn^2(U) - FQn^2(V)}{FQn^2(U) + FQn^2(V)}$$

$$U = \frac{X_t - med(X_t)}{\sqrt{2}MAD(X_t)} + \frac{X_{t-k} - med(X_t)}{\sqrt{2}MAD(X_t)} \quad V = \frac{X_t - med(X_t)}{\sqrt{2}MAD(X_t)} - \frac{X_{t-k} - med(X_t)}{\sqrt{2}MAD(X_t)}$$

Робастный аналог метода Юла-Уолкера

- Система уравнений Юла-Уолкера в матричном виде:

$$r_0^l = \alpha^T r_1^l + \delta_\varepsilon^2$$

$$R(r_0^l)\alpha = r_1^l$$

- Робастные оценки автоковариационной функции:

- MAD оценка $\hat{r}_{MAD}(k) = \hat{\rho}_{MAD}(k) * MAD(X_t) * MAD(X_{t-k})$

- FQn оценка $\hat{r}_{FQn}(k) = \hat{\rho}_{FQn}(k) * FQn(X_t) * FQn(X_{t-k})$

- Оценка спектральной плотности $\hat{S}(f) = \frac{\hat{\sigma}_e^2}{\left| 1 - \sum_{j=1}^l \hat{\alpha}_j \exp(i2\pi f j) \right|^2}$

Модели засорения

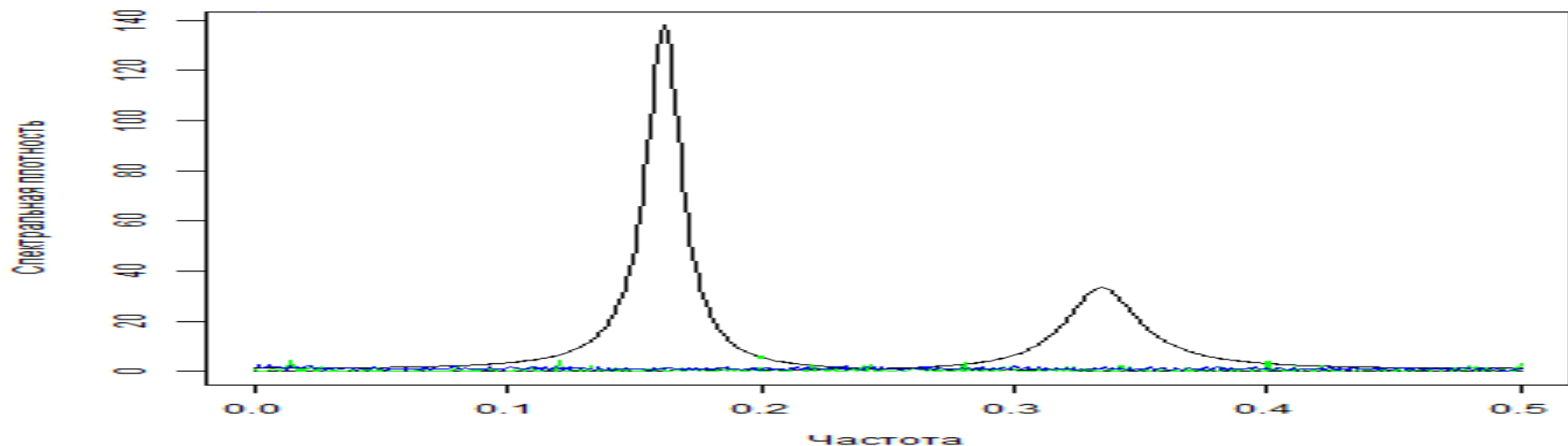
- Амплитудная модель засорения:

$$x(t) = \alpha_1 x(t-1) + \alpha_2 x(t-2) + \varepsilon_t$$

$$\varepsilon_t \sim (1-\xi)N(0,1) + \xi N(0,100)$$

- Модель «разладки» - маскирующий эффект:

$$x(t) = \alpha_1 x(t-1) + \alpha_2 x(t-2) + \varepsilon_t$$

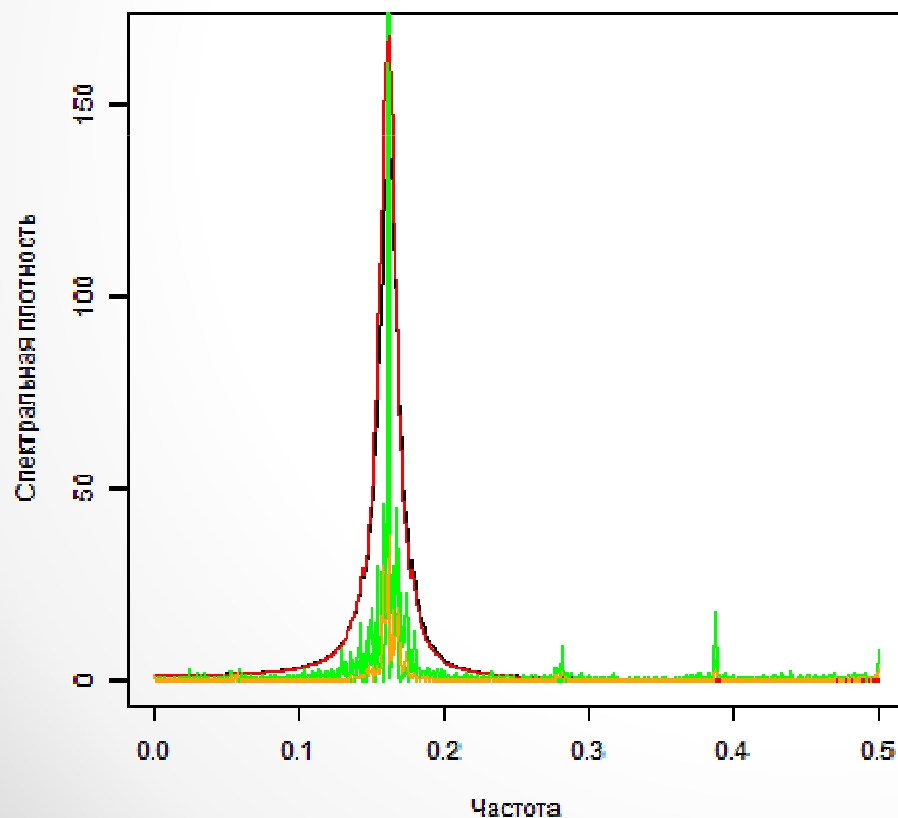


Эксперимент: модель без засорения

Выборка из 1024 элементов

Число экспериментов Монте-Карло: 10

График спектральной плотности



Легенда:

Медианная периодограмма

Метод Юла-Уолкера с FQn оценкой

Модель

Коррелограмма с MAD оценкой

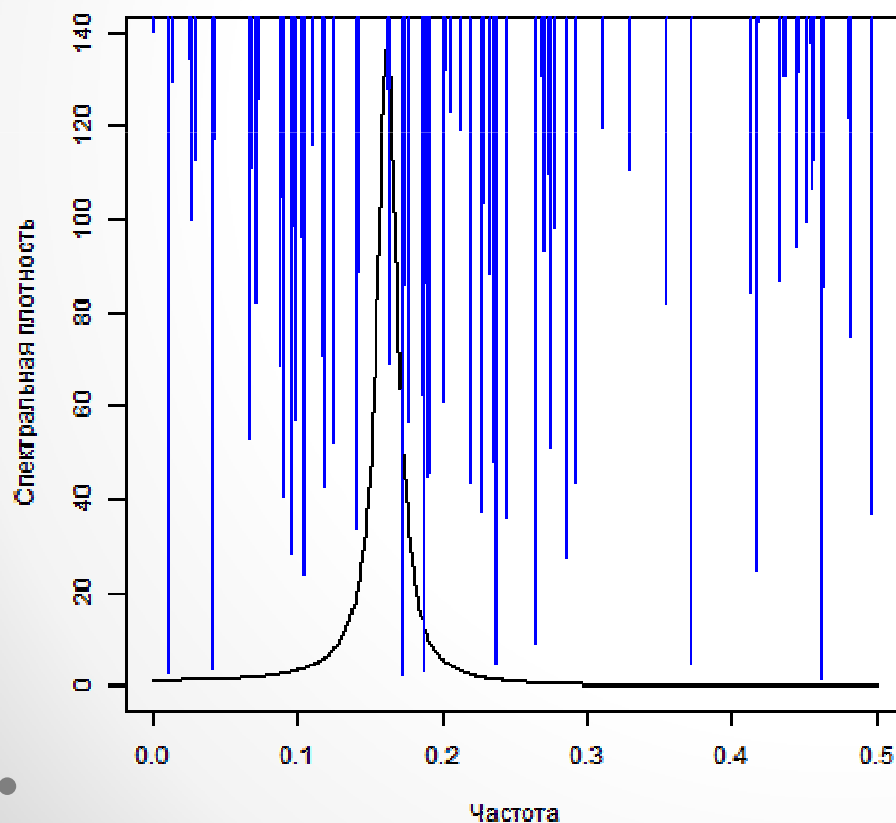
Эксперимент: амплитудное засорение

Выборка из 1024 элементов

Число экспериментов Монте-Карло: 10

Выбросы: 10%

График спектральной плотности



Легенда:

Классическая периодограмма

Модель

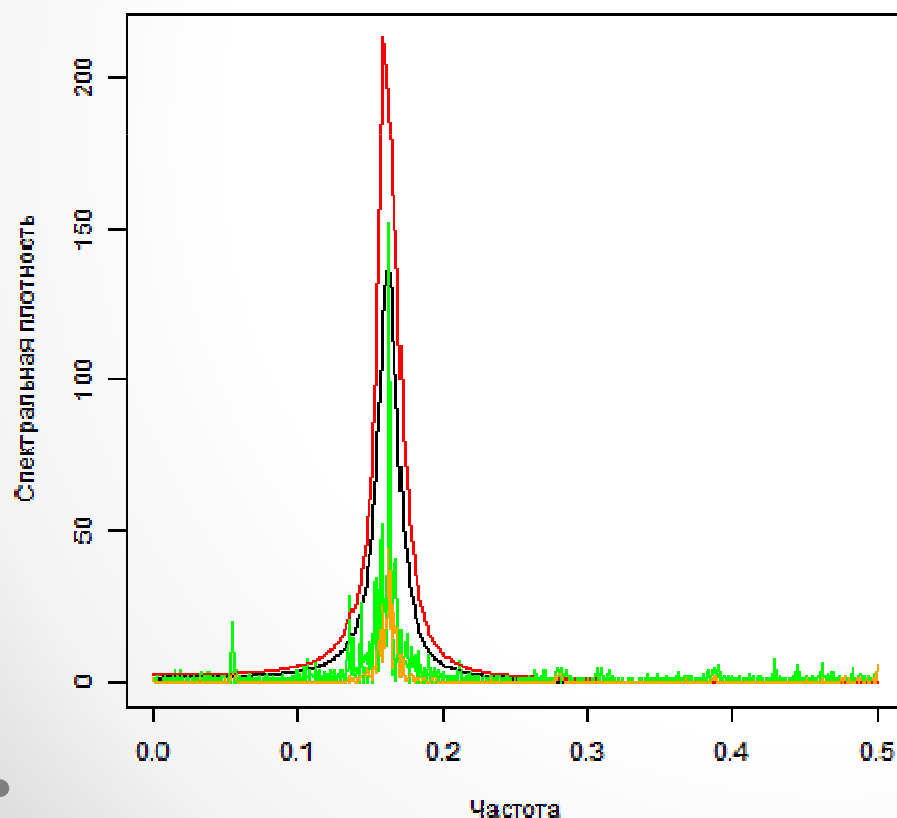
Эксперимент: амплитудное засорение

Выборка из 1024 элементов

Число экспериментов Монте-Карло: 10

Выбросы: 10%

График спектральной плотности



Легенда:

Медианная периодограмма

Метод Юла-Уолкера с FQn оценкой

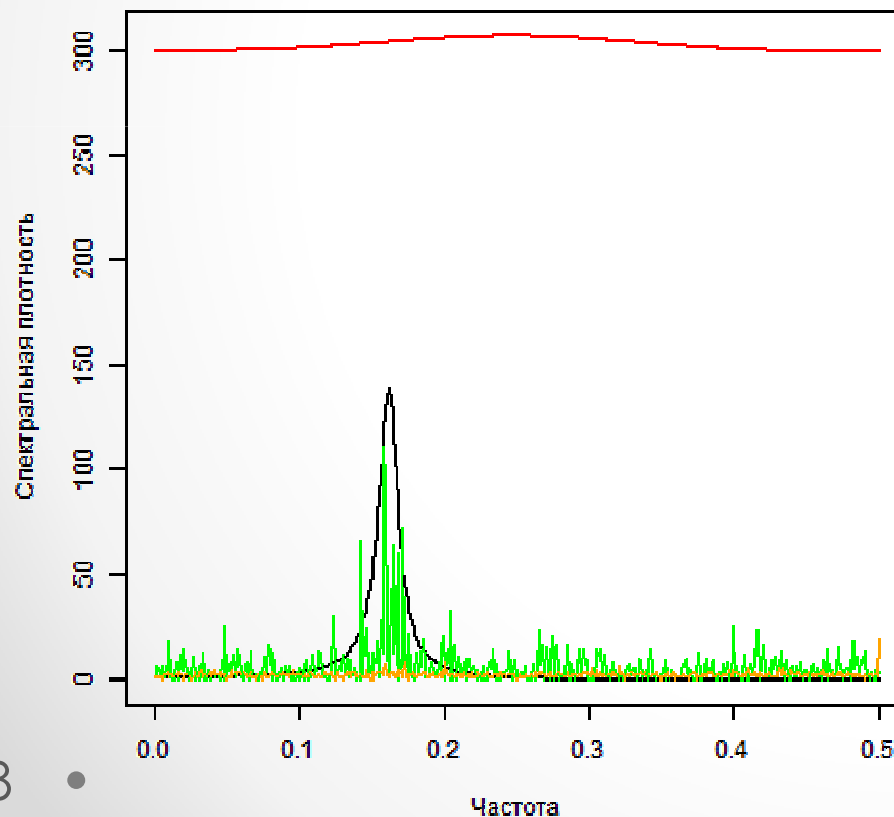
Модель

Коррелограмма с MAD оценкой

Эксперимент: амплитудное засорение

Выборка из 1024 элементов.
Число экспериментов Монте-Карло: 10
Выбросов: 45%

График спектральной плотности



Легенда:

Медианная периодограмма

Метод Юла-Уолкера с FQn оценкой

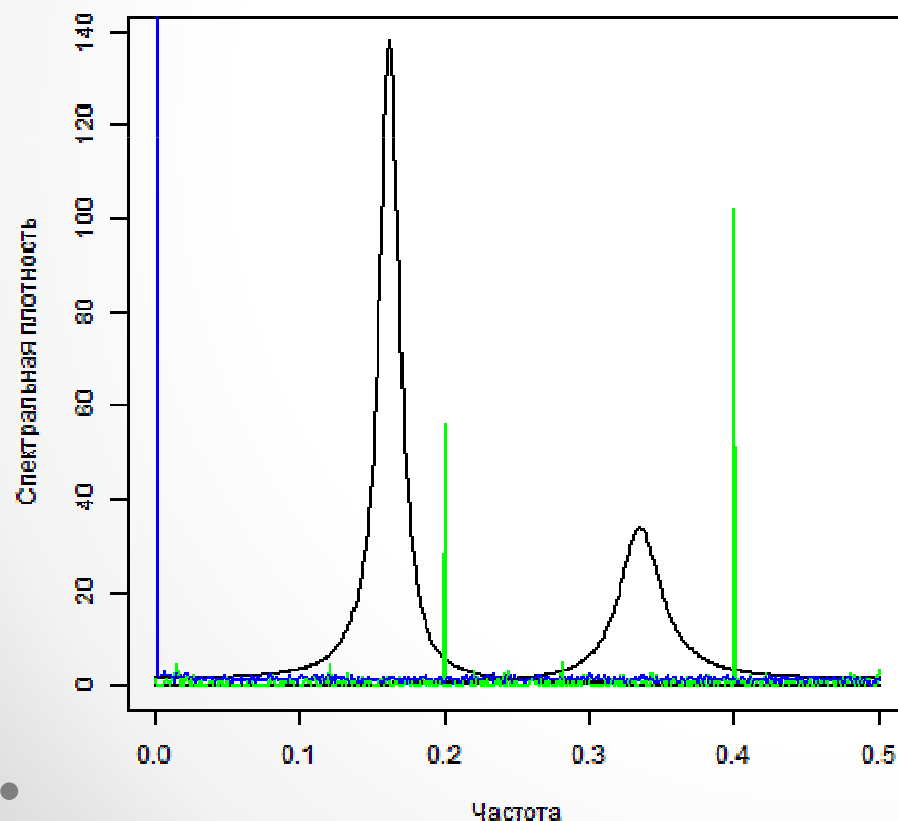
Модель

Коррелограмма с MAD оценкой

Эксперименты: модель «разладки»

Выборка из 1024 элементов.
Число экспериментов Монте-Карло: 10

График спектральной плотности



Легенда:

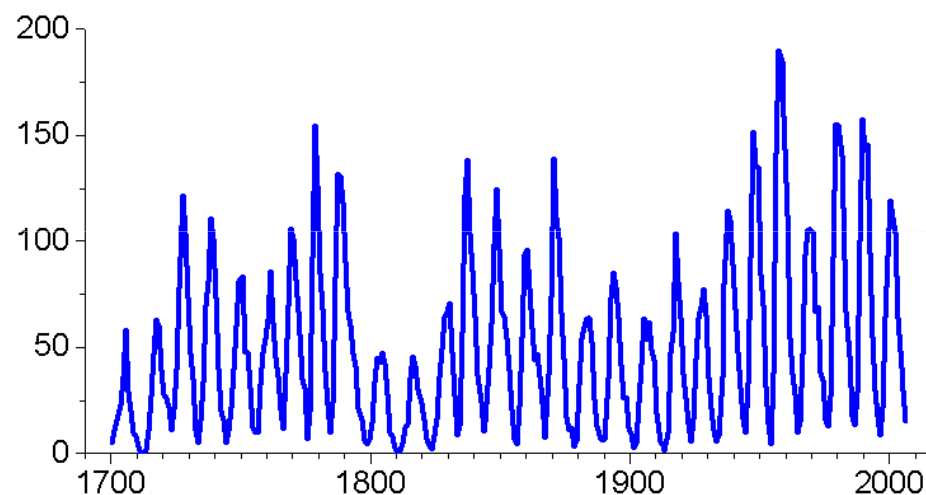
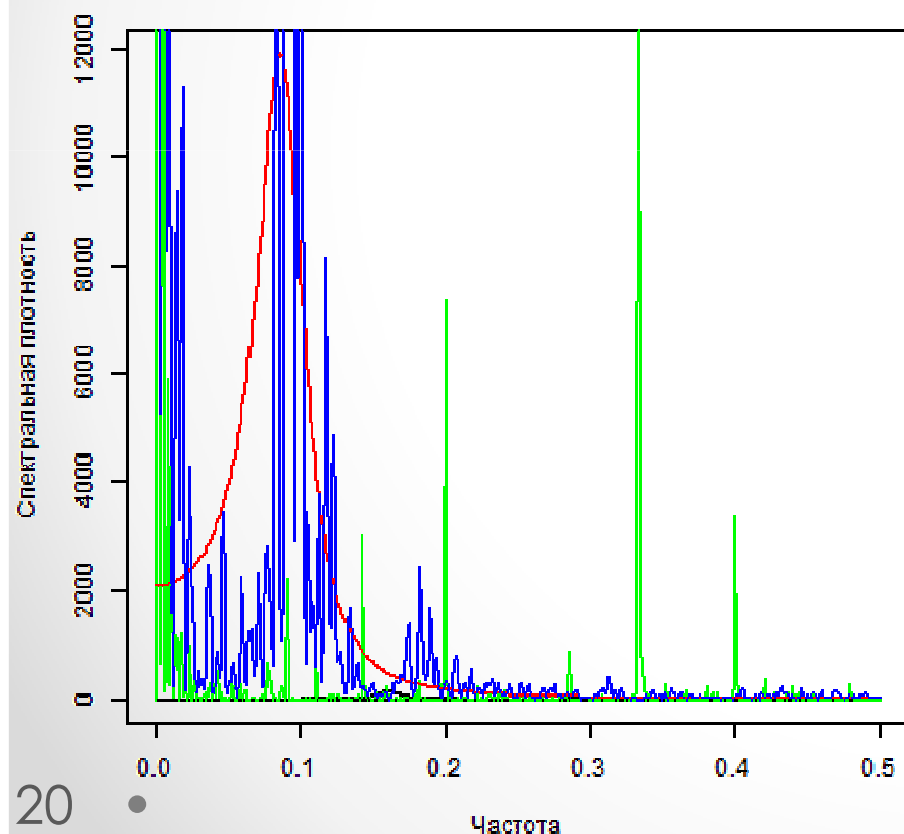
Классическая периодограмма

Медианная периодограмма

Модель

Эксперименты с реальными данными: годовые числа Вольфа

График спектральной плотности



Легенда:

Классическая периодограмма

Медианная периодограмма

Метод Юла-Уолкера с FQn оценкой

Выводы

1. Робастный метод Юла-Уолкера оказался лучшим на модели авторегрессии с засорениями
2. Медианная периодограмма наследует свойство устойчивости выборочной медианы к выбросам
3. Робастная процедура Блекмэна-Тьюки ведет себя примерно как робастная периодограмма, но менее устойчива к выбросам

Направления будущих исследований

- Уменьшение смещения оценок
- Сглаживание оценок путем применения временных, спектральных и корреляционных «окон»
- Исследование описанных подходов на более сложных моделях процессов

Спасибо за внимание